催化与分离提纯技术

K⁺、Ca²⁺、Ce³⁺改性钛渣衍生 LTA 型 沸石及其 CO₂ 吸附性能

皇甫林¹,尚 波²,李方园²,罗中秋^{1,2*},祖 运^{2*},周新涛²,蔡秀楠²

(1. 钒钛资源综合利用国家重点实验室,四川 攀枝花 617000; 2. 昆明理工大学 化学工程学院,云南 昆明 650500)

摘要: 以钒钛磁铁矿生产过程排放的固体废渣(钛渣)为原料,构筑了 LTA(Na-LTA)沸石母体,然后通过常规液相离子交换法制备了 3 种阳离子交换型沸石分子筛吸附剂 K-LTA、Ca-LTA 和 Ce-LTA,采用 XRD、FTIR、SEM、BET、CO2-TPD 对其进行了表征。通过动态吸附法和质量吸附法评价了 3 种吸附剂对 CO2 的吸附性能,推测了 CO2 的吸附机理。结果表明,K-LTA、Ca-LTA 和 Ce-LTA 的饱和 CO2 吸附量(2.11、3.29、2.26 mmol/g)均高于 Na-LTA(1.97 mmol/g),但 K-LTA 的穿透吸附量(0.11 mmol/g)比 Na-LTA(1.67 mmol/g)显著减小。3 种吸附剂对 CO2 的吸附更符合准二级动力学模型(R^2 >0.99),其吸附速率常数由高到低顺序为:Ca-LTA〔7.015 mmol/(g·min)〕>Ce-LTA〔5.343 mmol/(g·min)〕>Na-LTA〔1.416 mmol/(g·min)〕>K-LTA〔0.042 mmol/(g·min)〕> Ca-LTA 具有最强的 CO2 捕集能力,最高的 CO2/N2、CO2/CH4 分离效率,经 5 次循环吸附/脱附后仍保持优异的吸附能力。Langmuir-Freundlich 等温线模型预测Ca-LTA 最大 CO2 吸附量可达 4.017 mmol/g。3 种吸附剂对 CO2 吸附过程以物理和化学协同吸附为主,其中物理吸附为电荷尺寸比大的阳离子对 CO2 施加强静电力,化学吸附主要以 C 键羰基的形式进行,这种协同吸附机制实现了阳离子交换型沸石分子筛对 CO2 的高效及快速捕集。

关键词:LTA 型沸石;固体废渣;阳离子交换;CO₂吸附;吸附动力学;分离技术中图分类号:X701 文献标识码:A 文章编号:1003-5214 (2025) 07-1593-14

CO₂ adsorption performance of LTA zeolite derived from titanium slag modified with K⁺, Ca²⁺ and Ce³⁺

HUANGFU Lin¹, SHANG Bo², LI Fangyuan², LUO Zhongqiu^{1,2*}, ZU Yun^{2*}, ZHOU Xintao², CAI Xiunan²

(1. State Key Laboratory of Vanadium and Titanium Resources Comprehensive Utilization, Panzhihua 617000, Sichuan, China; 2. Faculty of Chemical Engineering, Kunming University of Science and Technology, Kunming 650500, Yunnan, China)

Abstract: LTA (Na-LTA) zeolite matrix was constructed from solid waste slag (titanium slag) discharged in the production process of vanadium titanium magnetite. Three kinds of cation exchange zeolite molecular sieve adsorbents K-LTA, Ca-LTA and Ce-LTA were then prepared by conventional liquid-phase ion exchange method, and characterized by XRD, FTIR, SEM, BET and CO₂-TPD. The CO₂ adsorption performance of these three adsorbents were evaluated by dynamic adsorption and mass adsorption methods, with the adsorption mechanism speculated. The results showed that the saturated CO₂ adsorption capacity of K-LTA, Ca-LTA and Ce-LTA (2.11, 3.29, 2.26 mmol/g) was higher than that of Na-LTA (1.97 mmol/g),

收稿日期: 2024-06-06; 定用日期: 2024-07-03; DOI: 10.13550/j.jxhg.20240454

基金项目: 钒钛资源综合利用国家重点实验室开放课题(2022P4FZG03A); 云南省科技厅昆明理工大学"双一流"联合专项(202101BE070001-031); 昆明理工大学分析测试基金项目(2022T20160009); 云南省科技厅基础研究计划"面上项目"(202401AT070384)

作者简介: 皇甫林 (1992—), 男, 工程师, E-mail: l_huangfu@163.com。**联系人:** 罗中秋 (1987—), 女, 副教授, E-mail: luozhongq@126.com; 祖 运 (1990—), 男, 副教授, E-mail: zuyun1990@126.com。

while the penetration adsorption capacity of K-LTA (0.11 mmol/g) was significantly lower than that of Na-LTA (1.67 mmol/g). The CO_2 adsorption process of the three adsorbents was more consistent with the quasi-second-order kinetic model (R^2 >0.99), with the adsorption rate constant in the order of Ca-LTA [7.015 mmol/(g·min)] > Ce-LTA [5.343 mmol/(g·min)] > Na-LTA [1.416 mmol/(g·min)] > K-LTA [0.042 mmol/(g·min)]. Ca-LTA exhibited the strongest CO_2 capture capacity, the highest CO_2/N_2 and CO_2/CH_4 separation efficiency, while maintained excellent adsorption capacity after 5 cycles of adsorption/desorption. The maximum CO_2 adsorption capacity of Ca-LTA could reach 4.017 mmol/g by Langmuir-Freundlich isotherm model. The CO_2 adsorption process by three kinds of adsorbents was dominated by both physical and chemical adsorptions, in which the physical adsorption was a cation with a large charge size ratio to enhance the electrostatic force on CO_2 , and the chemical adsorption was mainly carried out in the form of C-bond carbonyl group. This collaborative adsorption mechanism achieved the efficient and rapid CO_2 capture by cation-exchange zeolite molecular sieve.

Key words: LTA zeolite; solid waste residue; cation exchange; carbon dioxide adsorption; adsorption kinetics; separation technology

近年来,应对人类活动导致的温室效应被认为是 21 世纪最重要的全球挑战之一。CO₂作为主要温室气体之一,其产生量随着工业化的发展显著增长。根据中国碳核算数据库,2023 年,全球大气CO₂排放量已达 357.8 亿 t^[1]。全球大气中 CO₂含量在 2021年已经突破质量浓度 419 mg/L 的阈值^[2],并在未来几十年内持续攀升,预计 2050 年,质量浓度可能高达 500 mg/L^[3],甚至在本世纪末达到质量浓度 900 mg/L。因此,如何有效捕集 CO₂成为近年来的研究热点。

固体材料吸附法具有吸附容量高、能耗低、易再 生、无腐蚀,是一种很有前途的碳捕集技术。目前, 常用的固体吸附材料包括活性炭[4]、金属有机骨架 (MOFs) [5-6]、共价有机框架(COFs) [7]、水滑石[8]、 地质聚合物[9]、沸石分子筛[10-13]等。其中,沸石分子 筛具有优异的结构稳定性,一般是指以硅氧四面体 ([SiO₄]⁴⁻)和铝氧四面体([AlO₄]⁵⁻)作为基本结构 单元,通过共用氧桥连接形成的具有规则微孔结构的 硅铝酸盐晶体, 通式为 M_{2/n}O•Al₂O₃•xSiO₂•yH₂O, 其 中 M 为金属元素, x 代表硅铝比 [n(Si)/(n(Al))]。研 究发现,低硅铝比的沸石分子筛在低压下具有较高的 CO。吸附能力,归因于较强的吸附剂-吸附质相互作 用,随着硅铝比的降低,分子筛骨架中的 Al 含量增加, 金属阳离子数量增加以保持电中性[14]。低硅铝比(约 1.0~3.0)的分子筛具有更多的金属阳离子作为吸附位 点,因而非常适合捕集 CO2°LTA 型沸石硅铝比约 1.0, 是由 8 元环 (8MR, 即由 8 个 Si 或 Al 原子组成的环) 或较小环组成, 孔径范围在 0.30~0.45 nm。在吸附 CO2 过程中,8MR 是小孔沸石中唯一允许 CO2 扩散通过的 环[15-16], 所以, LTA 型沸石在成分复杂的混合气相中 表现出优异的分离 CO2 选择性。

LTA 在常压下表现出中等的吸附 CO₂能力(1.00~

2.97 mmol/g),影响其吸附能力的主要因素是孔隙中 电荷平衡金属阳离子产生的电场[17-18]。因此,通过 改性可以提高沸石分子筛对 CO₂的吸附能力。沸石 分子筛的改性主要针对两类元素,一是沸石骨架元 素,如采用脱铝补硅、骨架铝化、骨架杂原子改性 等;另一种是非骨架元素,主要采用离子交换法, 包括水溶液交换法(常规液相离子交换法,LPIE)、 固态离子交换法、熔盐交换法等。其中, LPIE 不仅 操作简单,还可以对交换容量进行可控调变。SUN 等[19]以 FAU 沸石分子筛为母体, 通过 LPIE 制备了 不同钙交换量的 Ca-FAU 系列沸石,该系列沸石具 有更快的吸附动力学和更低的吸附热, 250 ℃焙烧 样品的 CO₂ 饱和吸附量可达 4.54 mmol/g, 比母体 NaX 样品的 3.38 mmol/g 增加了 34%。张镱键^[20]将 粉煤灰制备的 NaA 沸石分子筛与 0.5 mol/L 的 CaCl₂ 溶液进行离子交换,得到的 CaA 沸石对 CO2 吸附量 达 3.15 mmol/g, 比 NaA 沸石提升了 24%。该过程 是通过提高 LTA 沸石的表面电位梯度来增强其对 CO₂的亲和力和吸附能力。

本文拟以钒钛磁铁矿生产过程排放的固体废渣〔钛渣(TS)〕为原料,构筑 LTA(Na-LTA)沸石母体,采用 LPIE 调变非骨架元素(Na)离子活性位来制备系列阳离子交换型 M-LTA(M=K、Ca、Ce)沸石分子筛吸附剂。通过动态吸附法和质量吸附法评价 M-LTA 的 CO2吸附性能,采用 XRD、SEM、BET 等表征 M-LTA, 探讨 CO2吸附机理。以期为理解阳离子在 LTA 沸石中的作用提供思路,也为固废的资源化利用与协同捕集 CO2提供参考。

1 实验部分

1.1 原料、试剂与仪器

TS, 四川攀枝花某钒钛冶炼公司, 经 X 射线荧

光光谱仪(XRF)分析,其主要由 CaO(质量分数 27.96%)、SiO₂(质量分数 25.22%)、Al₂O₃(质量 分数 12.19%)、TiO₂(质量分数 12.63%)、MgO(质量分数 9.59%)等组成。图 1 为 TS 和酸处理渣(ATBFS)的 XRD 谱图,其中,ATBFS 制备参照 文献[21]。从图 1 可以看出,TS 和 ATBFS 为无定形态存在,且 ATBFS 主要成分为无定形 SiO₂。

盐酸、NaOH、偏铝酸钠(NaAlO₂)、KCl,AR,天津市风船化学试剂科技有限公司;CaCl₂和Ce(NO₃)₃•6H₂O,AR,重庆川东化工(集团)有限公司。

Ultima IV型 X 射线衍射仪(XRD), 日本 Rigaku 公司; MIRA LMS 型扫描电子显微镜(SEM), 捷克 Tescan 公司; ASAP 2460 型全自动比表面及孔径分析仪(BET)、AutoChem II 2920 型全自动化学吸附分析仪,美国麦克仪器公司; VERTEX 70 型傅里叶变换红外光谱仪(FTIR), 德国 Bruker 公司; Autosorb-iQ 型全自动比表面和孔径分布分析仪,美国康塔仪器公司; STA449 型同步热分析仪,德国Netzsch公司; TILON BMG-3 型气相在线过程质谱仪(MS),英国 Tilon GRP 科技有限公司; GGX-900原子吸收分光光度计,北京海光仪器有限公司。

1.2 沸石吸附剂的制备

参照文献[21]制备 Na-LTA。按固液比(g:mL,下同)1:50,将 Na-LTA 分别加入到装有 KCl (0.05 mol/L)、CaCl₂(0.05 mol/L)和 Ce(NO₃)₃•6H₂O (0.05 mol/L)溶液的圆底烧瓶中,在80 ℃下搅拌回流6h后过滤,滤饼经充分洗涤后在105 ℃下干燥24h,在马弗炉中250 ℃焙烧3h,即得到离子交换型 M-LTA 系列沸石。分别记为 K-LTA、Ca-LTA和 Ce-LTA,均为土黄色粉末。图2为 Na-LTA和 M-LTA沸石的制备流程示意图。

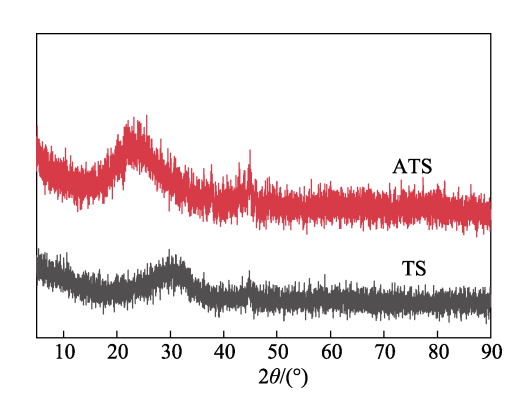


图 1 TS 和 ATBFS 的 XRD 谱图 Fig. 1 XRD patterns of TS and ATBFS

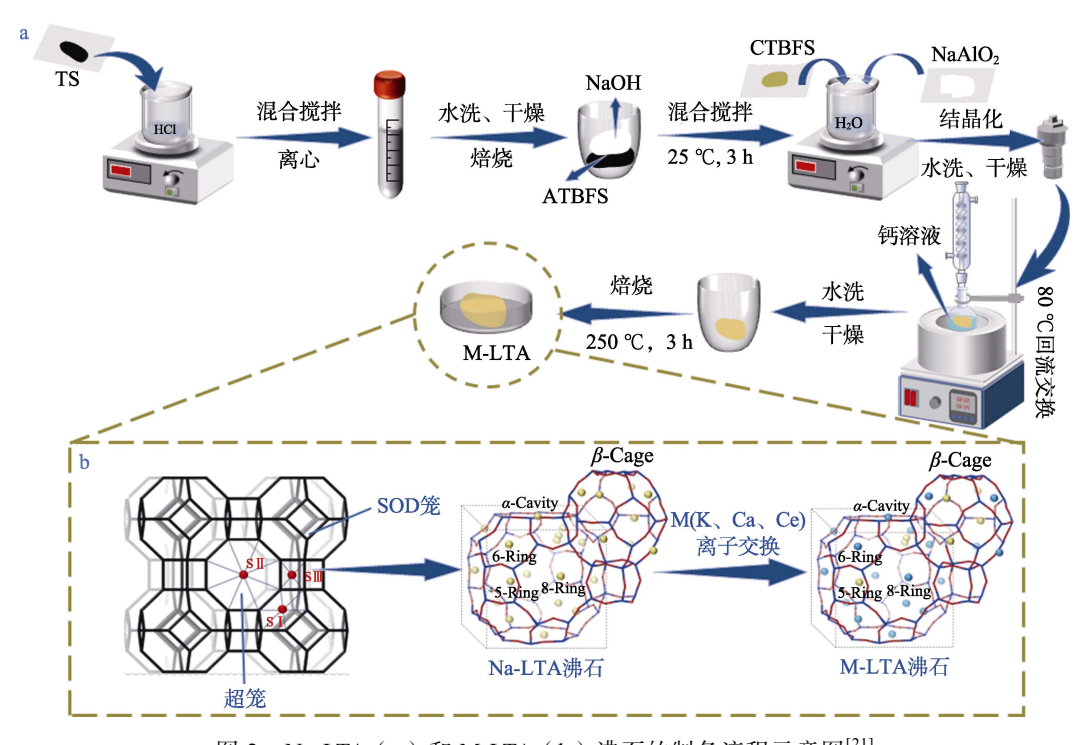


图 2 Na-LTA(a)和 M-LTA(b)沸石的制备流程示意图 $^{[21]}$ Fig. 2 Schematic diagram of preparation process of Na-LTA (a) and M-LTA (b) zeolites $^{[21]}$

1.3 表征方法与性能测试

XRD 测试: Cu K_{α} 辐射源(λ =0.15406 nm),管电压 40 kV,管电流 30 mA,扫描速率 5 (°)/min,扫描范围 2θ =5°~90°。SEM 测试:加速电压 0.2~

30 keV,探测电流 3 pA~20 nA。BET 测试:样品在 350 ℃下抽真空预处理 4 h,液氮冷却至-196 ℃,进行低温 N₂ 吸附-脱附实验,并利用 BET 法计算比表面积,密度泛函理论(DFT)法计算吸附剂的孔

容和孔径分布。FTIR 测试: KBr 压片法测定样品整 体表面官能团结构变化,波数范围 4000~400 cm⁻¹, 分辨率 4 cm⁻¹,扫描次数 32 次。原位 FTIR 测试: 将样品制成自撑片(约 $10\sim12 \text{ mg/cm}^2$)放入原位池, 在进行吸附测试之前在氩气气氛(流量为20 mL/min) 下 500 ℃活化 2 h 后,冷却至 30 ℃,将气体切换为 CO₂缓慢通人,吸附到饱和转换为氩气(20 mL/min) 进行升温解吸,羟基红外光谱波数范围 4000~ 1200 cm⁻¹, 分辨率 4 cm⁻¹, 扫描 64 次。CO₂程序升 温脱附(CO2-TPD)测试: 将约 40 mg 样品放入全 自动化学吸附分析仪 U 型管中, 通入氢气体积分数 10%的氢气/氩气混合气(30 mL/min)750 ℃还原 1 h, 切换为氦气(30 mL/min)冷却到室温, 通入 CO₂ (20 mL/min) 直到吸附饱和; 然后, 经氦气 (30 mL/min)吹扫 1 h; 最后,系统温度以 10 ℃/min 的升温速率从 30 ℃升至 500 ℃, 用热导检测器 (TCD)检测器记录CO2-TPD曲线。离子交换度(IE, %)测定:试样用高氯酸、氢氟酸分解,在质量分 数为 2%的盐酸介质中,于波长 589.00 nm 处,采用 原子吸收分光光度计以空气-乙炔火焰进行测试,测 量公式如式(1)所示:

IE / % =
$$\frac{m_1 \times 10^{-6}}{m_s} \times 100$$
 (1)

式中: m_1 为从标准系列曲线上(或浓度直读)所得待测溶液中 NaOH 的质量, μg ; m_s 为试料质量,g。

1.4 CO₂ 吸附实验

在固定床反应装置上进行吸附剂的 CO2 动态吸 附性能测试。首先,将吸附剂粉末样品进行压片、 研磨、过筛(40~60目); 然后, 称取 0.5 g 吸附剂 装入石英管 (6 mm×4 mm×40 cm) 中, 将系统温 度升至 350 ℃, 通入氩气 (20 mL/min) 保持 2 h, 以除去样品中的水分和系统其他气体。待系统降温 并冷却至 25 ℃, 通入 CO₂/Ar 混合气(Ar 流速 18.6 mL/min; CO₂流速 1.4 mL/min) 进行动态吸附 实验,通过气相在线过程质谱仪检测 CO₂出口质量 浓度, 待其质量浓度<1 µg/L 时, 定义为穿透点, 此 时的吸附量为穿透吸附量(mmol/g); 当 CO2 出口 质量浓度趋于其人口质量浓度时,表明吸附达饱和, 此时的 CO₂ 吸附量为饱和吸附量 (mmol/g)。需要 指出的是,在循环吸附/解吸实验过程中,吸附测试 同上, 而吸附后的吸附剂在氩气 (20 mL/min) 150 ℃ 下解吸 120 min 再生。根据动态吸附曲线计算 CO。 吸附量, 计算公式如式(2) 所示[22]:

$$q_{t} = \frac{v \int_{0}^{t} (\varphi_{0} - \varphi) dt T_{0}}{m V_{m} T}$$
 (2)

式中: q_t 为 t 时刻 CO_2 吸附量, m 为吸附

剂质量, g; v 为混合气流量, mL/min; φ_0 和 φ 分别 为 CO₂ 初始和出口处测定的体积分数, %; T 为实验温度, K; T_0 为绝对温度, 273.15 K; V_m 为标准气体摩尔体积, 22.4 L/mol; t 为吸附时间, min。

利用吸附穿透结果的选择性,评价各吸附剂样品对 CO_2/CH_4 (体积比 1:1)和 CO_2/N_2 (体积比 1:1)的分离吸附 CO_2 能力。选择性按式(3)进行计算^[23]:

$$\alpha = \frac{q_1}{q_2} \times \frac{p_2}{p_1} \tag{3}$$

式中: α 为 CO₂分离系数; q_1 为 CO₂的吸附量, mmol/g; p_1 为 CO₂的分压, MPa; q_2 为 CH₄(或 N₂)的吸附量, mmol/g; p_2 为 CH₄(或 N₂)的分压, MPa。

1.5 动力学实验

在环境压力下,吸附动力学实验在同步热分析仪上进行。将 5~15 mg 样品放入致密氧化铝坩埚中。实验前,将吸附剂在 0.1 MPa、350 $^{\circ}$ C及氩气气氛下(50 mL/min)预处理 2 h,以除去样品中的水分和系统其他气体;然后,待系统温度冷却至 25 $^{\circ}$ C,通入 $^{\circ}$ CO₂气体(50 mL/min)进行吸附实验,吸附过程在恒温下持续 2 h。当曲线呈不再继续上升的趋势,趋于平缓时,说明吸附到达平衡。通过热重分析仪记录样品质量随时间变化的百分数,根据式(4) 计算 $^{\circ}$ CO₂ 吸附量 $^{\circ}$ W的量 $^{\circ}$ 记,以除去样品质量随时间变化的百分数,根据式(4) 计算 $^{\circ}$ CO₂ 吸附量 $^{\circ}$ 吸附量 $^{\circ}$

$$Q = \frac{m_0 - m_t}{44m_0} \times 1000 = \frac{10w}{44} \tag{4}$$

式中: Q为 t 时的 CO_2 吸附量, m_0 为吸附剂的初始质量, m_g ; m_t 为 t 时吸附剂的质量, mg; w 为整个吸附过程中, 吸附剂质量随时间变化的百分数, %。

采用准一级动力学和准二级动力学分析 CO₂ 分子在吸附剂中的吸附行为。准一级动力学模型和准二级动力学模型分别如式(5)和(6)所示:

$$\ln(q_e - q_t) = \ln q_e - k_1 t \tag{5}$$

$$\frac{t}{q_t} = \frac{1}{k_2 q_e^2} + \frac{t}{q_e}$$
 (6)

式中: q_t 为 t 时的 CO_2 吸附量, mmol/g; q_e 为平衡时的吸附量, mmol/g; k_1 为准一级速率常数, min^{-1} ; k_2 为准二级速率常数, $g/(mmol \cdot min)$ 。

1.6 热力学实验

使用全自动比表面和孔径分布分析仪测定 CO_2 吸附等温线。吸附前将样品在设定温度(25、45 °C,循环浴维持)下动态真空活化 6 h,得到完全脱水的吸附剂。采用 Langmuir、Freundlich 和 Langmuir-Freundlich 3 种等温线模型对沸石吸附 CO_2 的等温吸附过程进行拟合分析,模型方程如式(7)~(9)所示[25]:

$$q_{\rm e} = \frac{K_{\rm L} q_{\rm m} p}{1 + K_{\rm L} p} \tag{7}$$

$$q_{\rm e} = K_{\rm F} p^{\frac{1}{n}} \tag{8}$$

$$q_{e} = K_{F} p^{\frac{1}{n}}$$

$$q_{e} = \frac{K_{L-F} q_{m} p^{n}}{1 + K_{L-F} p^{n}}$$
(8)

式中: q_e 为吸附平衡时 CO_2 吸附量, mmol/g; q_m 为 最大吸附量, mmol/g; p 为吸附平衡时的平衡压力, Pa; K_L为 Langmuir 常数, 1/Pa; K_F为 Freundlich 常 数, (mmol/g)(Pa)^{-1/n}; n 为异质性因子; K_{L-F} 为 Langmuir-Freundlich 常数, 1/Pa。

根据 298 和 318 K 下所得吸附等温线及相关数 据,利用式(10)的 Clausius-Clapeyron 方程计算 CO₂吸附等容热:

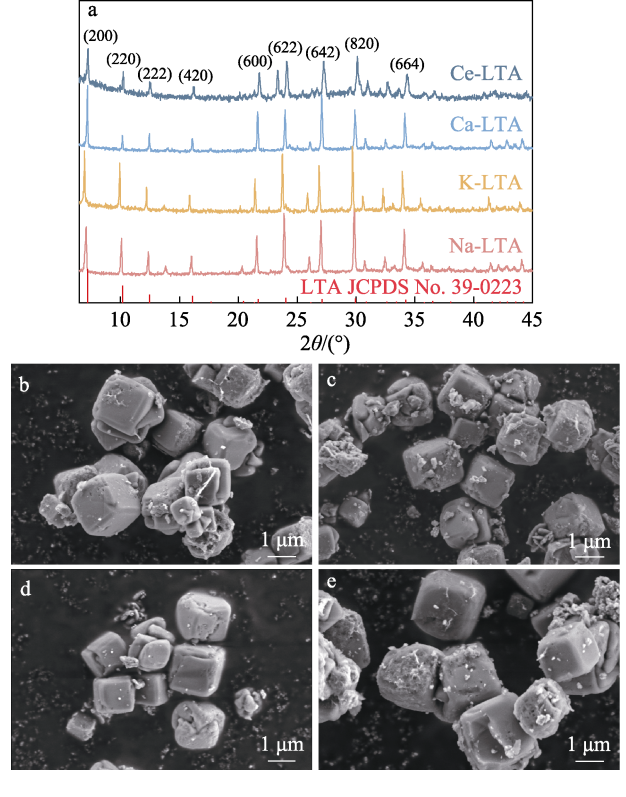
$$\left[\frac{\partial \ln p}{\partial (1/T)}\right]_{a} = -\frac{\Delta Q}{R} \tag{10}$$

式中: ΔQ 为吸附热, J/mol; p 为系统压力, Pa; R为气体常数, 8.314 J/(mol·K); T 为吸附温度, K。

结果与讨论

样品的表征

图 3 为 Na-LTA 和 M-LTA 的 XRD 谱图和 SEM 图。

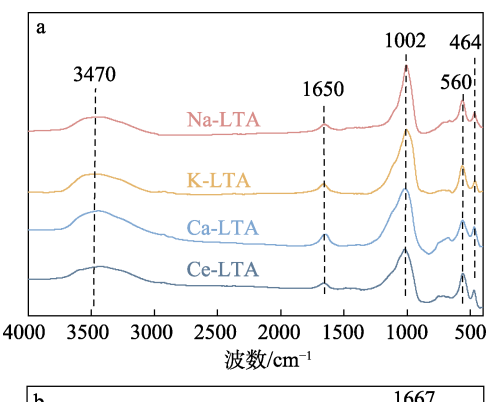


b-Na-LTA; c-K-LTA; d-Ca-LTA; e-Ce-LTA Na-LTA 和 M-LTA 的 XRD 谱图(a)及 SEM 图(b~e) Fig. 3 XRD patterns (a) and SEM images (b~e) of Na-LTA and M-LTA

从图 3 可以看出, K-LTA、Ca-LTA 和 Ce-LTA 的 XRD 谱图峰形和形貌与 Na-LTA 基本一致, 表明 K-LTA、Ca-LTA 和 Ce-LTA 仍保持 Na-LTA 母体分 子筛的结构形态,但衍射峰强度和位置发生了一定 程度的变化。这是因为,用 K+(0.133 nm,离子半 径,下同)交换 Na⁺(0.102 nm)时,较大的 K⁺离 子半径导致晶体膨胀,晶面间距变大,衍射峰左移; 用 $Ca^{2+}(0.1 \text{ nm})$ 交换 Na^{+} 时, 二者离子半径较为接 近,晶胞参数相对变化小,因此,XRD 谱图中衍射 峰偏移不明显; 用 Ce³⁺ (0.101 nm) 交换 Na⁺时, 虽 然两者离子半径更为接近, 但受到电荷平衡机制的 限制, 更少量的 Ce3+便可弥补被离子交换后 Na+的电 荷空位,使晶胞参数显著变小,衍射峰偏移较为明显。 另外, K⁺、Ca²⁺、Ce³⁺与 Na⁺离子半径及价态的不同 将导致三者对 Na-LTA 结构 Na⁺的交换度差异。

在 Na-LTA 型沸石分子筛的代表性结构(图 2b) 中,3 个潜在位点(SI、SⅡ和 SⅢ)可被骨架外阳 离子占据。实际上,只有位于超笼内的 SⅡ和 SⅢ能 够更大程度地捕集吸附物,而位于六元环内的 SI 和 SOD 笼则不能。

图 4 为 Na-LTA 和 M-LTA 的 FTIR 谱图和羟基 归一化原位 FTIR 谱图。



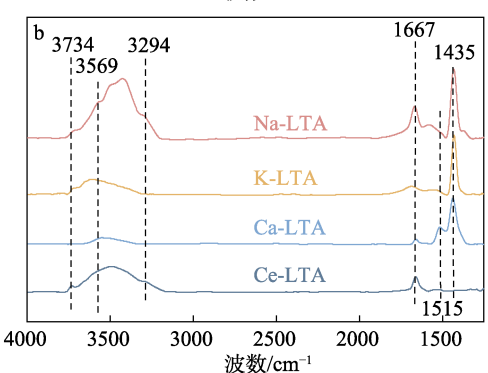


图 4 Na-LTA 和 M-LTA 的 FTIR 谱图 (a) 和羟基归一化 原位 FTIR 谱图(b)

FTIR (a) and OH-normalized in-situ FTIR (b) spectra of Na-LTA and M-LTA

从图 4a 可以看出, 3470 和 1650 cm⁻¹ 处的吸收

峰与分子筛中吸附的水和羟基的拉伸、弯曲振动密切相关^[26];1002 cm⁻¹处的宽吸收带归属于 Si—O—T(T=Si、Al)在分子筛内部的不对称拉伸振动;400~780 cm⁻¹处的吸附带则对应于 Si—O—Al 的对称拉伸和弯曲^[9]。与 Na-LTA 相比,K-LTA、Ca-LTA及 Ce-LTA 分子筛没有出现或消失任何吸收峰,说明离子交换并没有改变 Na-LTA 分子筛的结构。

从图 4b 可以看出,所有样品在 3734、3294、1667、1515 和 1435 cm⁻¹ 处均存在吸收峰。其中,3734 和 3294 cm⁻¹ 处的吸收峰分别属于末端硅烷醇(Si—OH 基团)和骨架外 Al 物种(Al—OH 羟基物种); 1435 cm⁻¹ 处的吸收峰与位于 M-LTA 分子筛

超笼中的 Si—O(1)H-Al 或 Si-O(2)H-Al 基团有关。 另外,与 Na-LTA 相比,K-LTA、Ca-LTA 及 Ce-LTA 的沸石分子筛在 1435 和 1667 cm⁻¹ 处的峰逐渐减弱 至最后消失,同时在 1515 cm⁻¹ 处出现新峰,且其强 度随离子负载量的增加而增强。这是因为,八元环 超笼中的 Na⁺被 Ca²⁺、Ce³⁺取代,从单峰演变为双峰,新峰属 $M(OH)^+$ 物种(M=Ca、Ce);而 3569 cm⁻¹ 处会形成含水的[Ca(OH)_x(H₂O)]⁺或[Ce(OH)_x(H₂O)]⁺物种,这将导致六元环中 Na(I)随交换离子的持续 进入而被不断替换[19]。

图 5 和表 1 为 Na-LTA 和 M-LTA 的 N_2 吸附-脱 附结果。

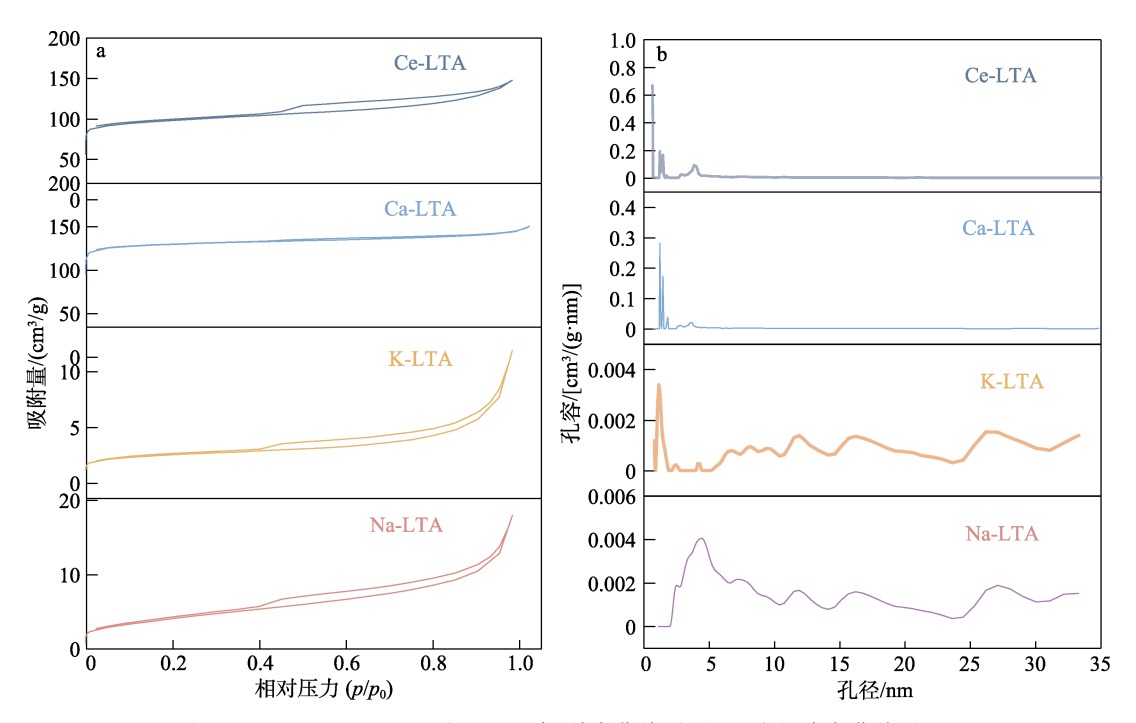


图 5 Na-LTA 和 M-LTA 的 N₂ 吸附-脱附曲线(a)和孔径分布曲线(b)

Fig. 5 N₂-sorption-desorption isotherms (a) and pore size distribution curves (b) of Na-LTA and M-LTA

表 1 Na-LTA 和 M-LTA 的结构性质以及离子交换度
Table 1 Structural properties and degree of ion exchange of Na-LTA and M-LTA

吸附剂	Na ⁺ 质量 分数/%	M 质量 分数/%	n(Si)/ n(Al)	IE/ %	比表面积/ (m²/g)	总孔容/ (cm³/g)	介孔孔容/ (cm³/g)	孔径/ nm
Na-LTA	11.57	_	1.04	_	15.5	0.028	0.024	21.836
K-LTA	8.39	5.31	1.06	46.5	9.5	0.018	0.016	7.517
Ca-LTA	4.12	10.52	1.03	71.8	521.3	0.232	0.036	5.888
Ce-LTA	5.39	13.47	0.99	28.1	375.6	0.227	0.092	6.329

注: Na⁺质量分数按照 JC/T1021.2—2007 测定; "—"代表无相关数据。

从图 5 可以看出,Na-LTA、K-LTA 和 Ce-LTA 表现为IV型等温线(图 5a),在较低的相对压力区域,存在一定的吸附量,且在较高的相对压力区域($0.4 < p/p_0 < 1.0$)内出现明显的回滞环,说明材料中存在介孔结构,其介孔与微孔并存。Na-LTA 和 K-LTA 的 N_2 吸附-脱附能力均较低,比表面积分别

为 15.5 和 9.5 m²/g。这是因为,Na-LTA 和 K-LTA 的微孔孔径与 N₂分子直径 (0.364 nm) 相当,因此,很难进入孔道。Na-LTA 经过 Ca²⁺和 Ce³⁺离子交换后,Ca-LTA 和 Ce-LTA 的比表面积分别达 521.3 和 375.6 m²/g,是 Na-LTA 比表面积的 34 和 24 倍。由于沸石框架中补偿负电荷的 Ca²⁺和 Ce³⁺改善了沸石

骨架孔道结构,因此, Ca-LTA 和 Ce-LTA 的总孔容 (0.232、0.227 cm³/g)增大,是 Na-LTA 总孔容 (0.028 cm³/g)的 8 倍,从而表现出超越 Na-LTA 的 N₂ 吸附能力(表 1)。

从图 5 还可以看出, Ca-LTA 表现为 I 型等温线 (图 5a), 在较低的相对压力环境下, 氮气的吸附能力显著增强, 随后随着相对压力 (0.4<p/p₀<1.0)的增加,吸附量逐渐攀升。这种吸附行为与脱附过程相近, 二者在吸附曲线上呈现出相似的位置。因此,根据测试结果推测,该沸石分子筛的主要吸附形式是物理吸附,这将有助于吸附材料的再生和循环。

2.2 CO₂ 吸附性能评价

图 6 为 Na-LTA 和 M-LTA 的 CO₂ 动态吸附穿透曲线及其相应的 CO₂ 穿透吸附量与饱和吸附量。

从图 6a、b 可以看出,Na-LTA、K-LTA、Ca-LTA、Ce-LTA 在经过穿透点后,均先呈现出了陡峭的上升趋势后缓慢趋于饱和,其 CO_2 穿透点分别为 868、57、1210、597 s。与 Na-LTA 相比,经穿透点后 K-LTA 和 Ce-LTA 趋于饱和的时间变长,这与二者较慢的吸附动力学有关;而 Ca-LTA 的穿透点到准平衡的时间缩短,说明具有更快的吸附动力学。经公式(1)计算,K-LTA、Ca-LTA 和 Ce-LTA 的 CO_2 穿透吸附量分别为 0.11、2.31、1.14 mmol/g,饱和吸附量分别为 2.11、3.29、2.26 mmol/g,与 Na-LTA 相比(穿透吸附量 1.67 mmol/g、饱和吸附量 1.97 mmol/g),K-LTA 的穿透吸附量较小,造成这一现象的原因可能是,K⁺离子半径较大、晶体的膨胀堵塞了材料的

孔隙结构,这限制了吸附剂的有效孔体积(图 6),在 CO_2 吸附过程中,这种取代引入了自由能屏障,阻碍了 CO_2 在相互连接的 α -腔间的扩散^[27],在短时间内 CO_2 难以与孔隙内部活性位点接触,使吸附位点吸附 CO_2 速率减小、穿透吸附量降低。K-LTA、Ca-LTA 和 Ce-LTA 的饱和吸附量均高于 Na-LTA,说明 K^+ 、 Ca^{2+} 、 Ce^{3+} 离子交换可提升 Na-LTA 型沸石吸附潜能, Ca^{2+} 改性效果最佳, Ce^{3+} 、 K^+ 次之。

由表 1 可知, K-LTA、Ca-LTA 和 Ce-LTA 对应 离子交换度分别为 46.5%、71.8%和 28.1%。

从图 6c 可以看出, Na-LTA 在 81.2 和 293.3 ℃ 处存在先后两个明显的 CO₂解吸峰,前者为沸石表 面和孔隙中弱结合物理吸附,后者为沸石表面和孔 隙强结合化学吸附,前者强度(约0.55)高于后者。 因为解吸峰强度高低与 CO2 吸附量直接相关, 证实 了LTA型沸石吸附CO2主要以物理吸附作用机制为 主。相比 Na-LTA, Ca-LTA 的解吸峰向更低温度偏 移,分别迁移至 74.5 和 203.0 ℃,说明 Ca-LTA 对 CO₂的物理吸附能力增强。同时, Ca-LTA 在 359 ℃ 处出现了1个新的解吸峰,有可能是由 Ca 物种吸附 位吸附 CO₂所致,表明 Ca-LTA 对 CO₂整体解吸过 程持续至 359.0 ℃完成。经 350 ℃、Ar 氛围下处理 1 h 测试 Ca-LTA 的吸附/脱附循环稳定性,从 CO2 饱和吸附量(图 6d)和动态穿透吸附曲线(图 6e) 可以看出,经5次再生循环实验,Ca-LTA始终保 持动态恒定的 CO2 吸附能力,表明 Ca-LTA 在稳定 性、吸附量和再生等方面均可作为一种优良的 CO2 吸附剂。

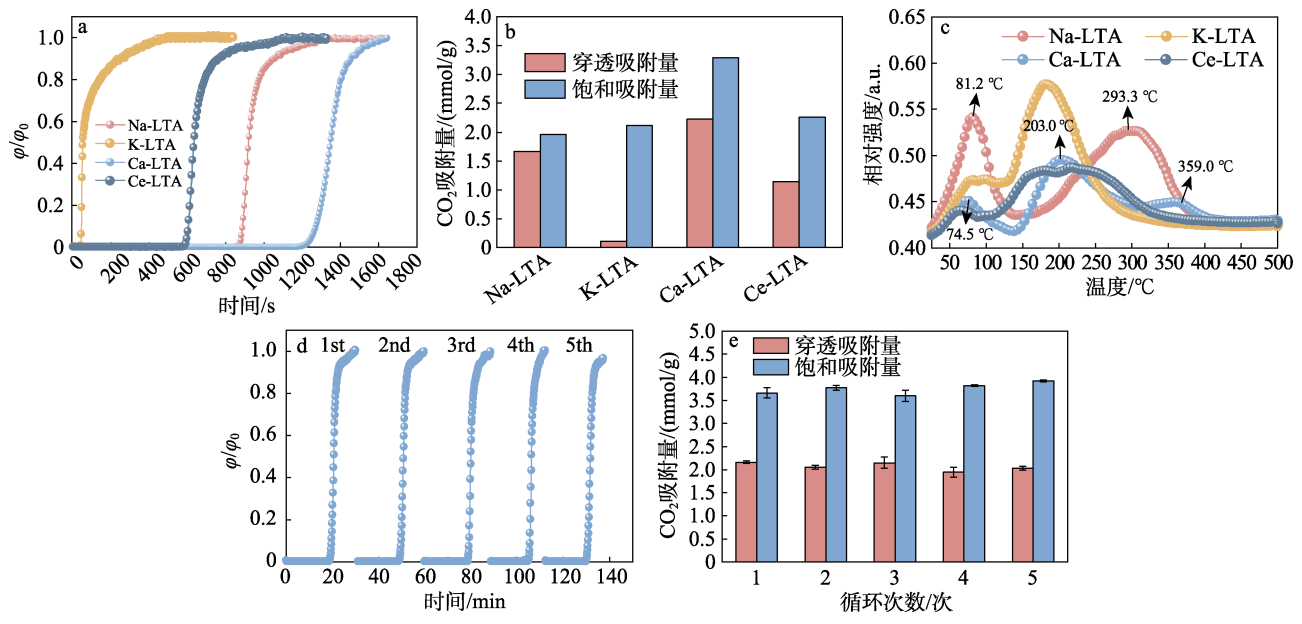


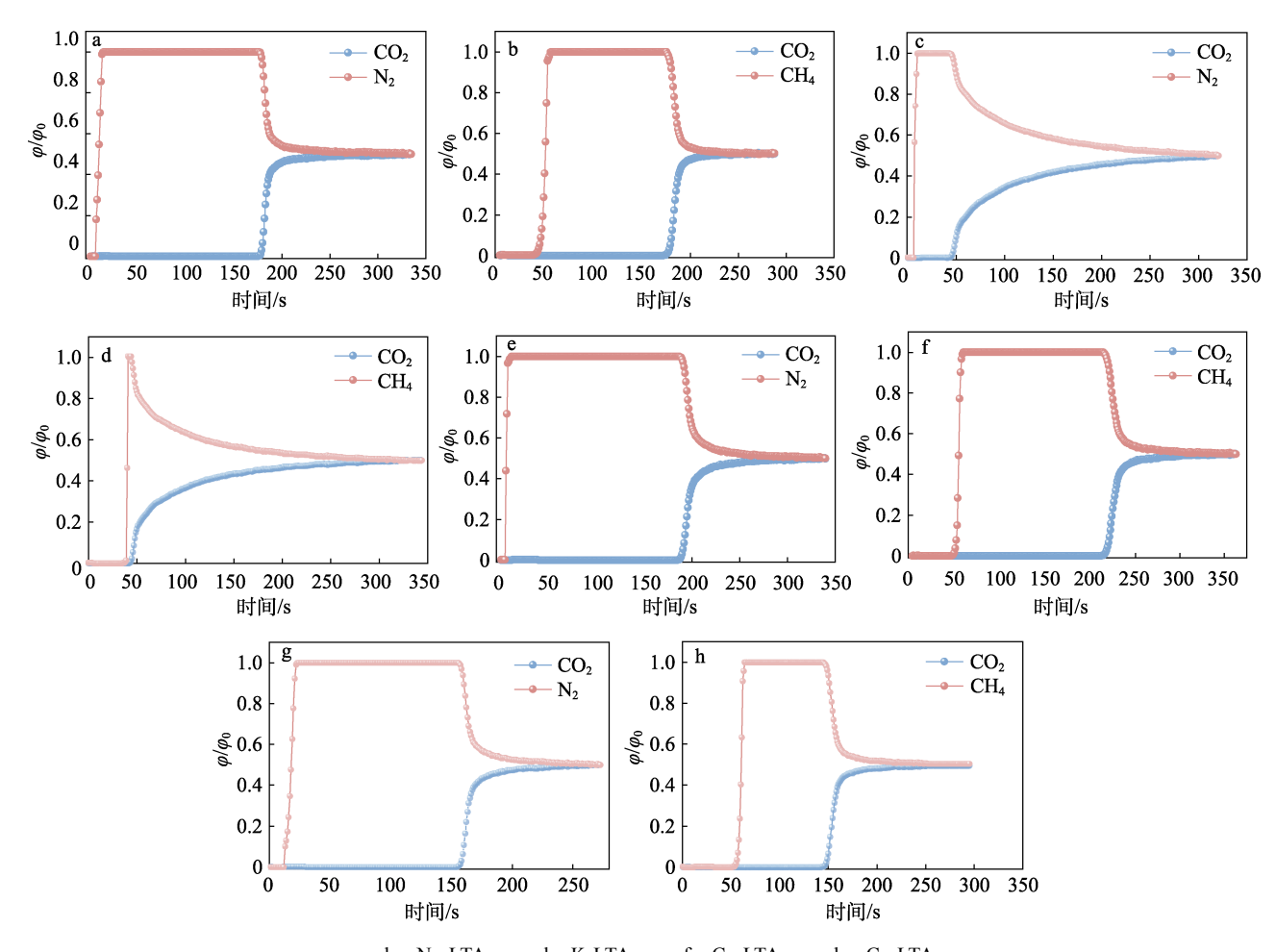
图 6 Na-LTA 和 M-LTA 的 CO₂ 动态吸附曲线 (a)、CO₂ 吸附量 (b)、CO₂-TPD 曲线 (c); Ca-LTA 的循环动态吸附曲 线 (d) 和 CO₂ 吸附量 (e)

Fig. 6 Dynamic CO₂ adsorption curves (a), CO₂ adsorption capability (b) and CO₂-TPD plots (c) of Na-LTA and M-LTA; Cyclic dynamic adsorption curves (d) and CO₂ adsorption capability (e) of Ca-LTA

图 7 为 Na-LTA 和 M-LTA 的 CO_2/N_2 和 CO_2/CH_4 混合气的穿透吸附测试结果。

从图 7 可以看出,Na-LTA、K-LTA、Ca-LTA和 Ce-LTA的 N₂ 吸附穿透时间(4.5、6.6、3.0和10.3 s)和 CH₄ 吸附穿透时间(39、35、43和52 s)均低于 CO₂的吸附穿透时间(176/172、47/42、188/213和154/144 s),动态选择性(α_1/α_2)和气体吸附量(q)可以直观地说明,Na-LTA型沸石是良

好的 CO_2 吸附分离材料 (表 2)。 Ca-LTA 的 CO_2 吸附穿透时间大于 K-LTA 和 Ce-LTA,且 CO_2 在 Ca-LTA 上的停留时间(CO_2 与 N_2 /CH₄ 的吸附穿透时间之差)也最大,证明 Ca-LTA 在 CO_2 / N_2 和 CO_2 /CH₄ 混合气中具有最佳的 CO_2 分离效率。因此,Ca-LTA 可作为传统电厂中通过煤或天然气与空气燃烧产生的烟气(CO_2 / N_2)或沼气(CO_2 / CH_4)中分离捕集 CO_2 的潜在候选材料[28]。



a、b—Na-LTA; c、d—K-LTA; e、f—Ca-LTA; g、h—Ce-LTA Na-LTA 和 M-LTA 的 CO₂/N₂和 CO₂/CH₄混合气动态吸附穿透曲线

Fig. 7 Dynamic adsorption penetration curves of Na-LTA and M-LTA for CO₂/N₂ and CO₂/CH₄ gas mixtures

表 2 CO_2/N_2 和 CO_2/CH_4 混合气在 Na-LTA 和 M-LTA 上的竞争吸附选择性 Table 2 Competitive adsorption selectivity of CO_2/N_2 and CO_2/CH_4 gas mixtures on Na-LTA and M-LTA

吸附剂	$V(\text{CO}_2)$: $V(\text{N}_2)$	q/(mm	$q/(\text{mmol/g})^{\oplus}$		$V(\text{CO}_2)$: $V(\text{CH}_4)$	$q(mmol/g)^{^{(\!1\!)}}$		α_2
	$V(CO_2) \cdot V(N_2)$	CO_2	N_2	$ \alpha_1^{\circ 2}$	V(CO ₂) · V(C114)	CO_2	CH ₄	a_2
Na-LTA	50:50	2.40	0.06	40	50:50	2.34	0.54	4.3
K-LTA	50:50	0.64	0.09	7.1	50:50	0.57	0.48	1.2
Ca-LTA	50:50	2.56	0.04	64	50:50	2.91	0.59	4.9
Ce-LTA	50:50	2.10	0.14	15	50:50	1.96	0.71	2.8

①表示穿透点(质量浓度<1 mg/L)的吸附量;②通过穿透吸附量计算 CO_2 分离系数 α_1 和 α_2 。

这是因为, Ca-LTA 属于孔窗由 8 元环限定的小孔沸石(孔径大约为 0.4 nm),在混合气(CO_2/N_2 和 CO_2/CH_4)中,优先允许动力学直径 0.33 nm 的 CO_2 进入,而动力学直径稍大的 N_2 (0.36 nm)和 CH_4 (0.38 nm)分子进入孔径相对困难^[29],从而获得较高的 CO_2 分离效率;另外, N_2 的极性较低,Ca-LTA 对其吸附能力较弱,因此,在 CO_2/N_2 混合气中,Ca-LTA 对 CO_2 的选择性吸附显著高于 N_2 。而 CH_4 的极性介于 CO_2 和 N_2 之间,尽管 CH_4 分子动力学直径较大,但仍能进入 Ca-LTA 孔道,且与 CO_2 竞争吸附位点,竞争效应使 Ca-LTA 对 CO_2/CH_4 的分离效果不如分离 CO_2/N_2 显著。

2.3 CO₂吸附动力学

图 8 为 Na-LTA 和 M-LTA 在 25 ℃时的吸附量 随着时间的变化曲线,表 3 为相应的 CO₂ 吸附动力 学模型拟合参数。

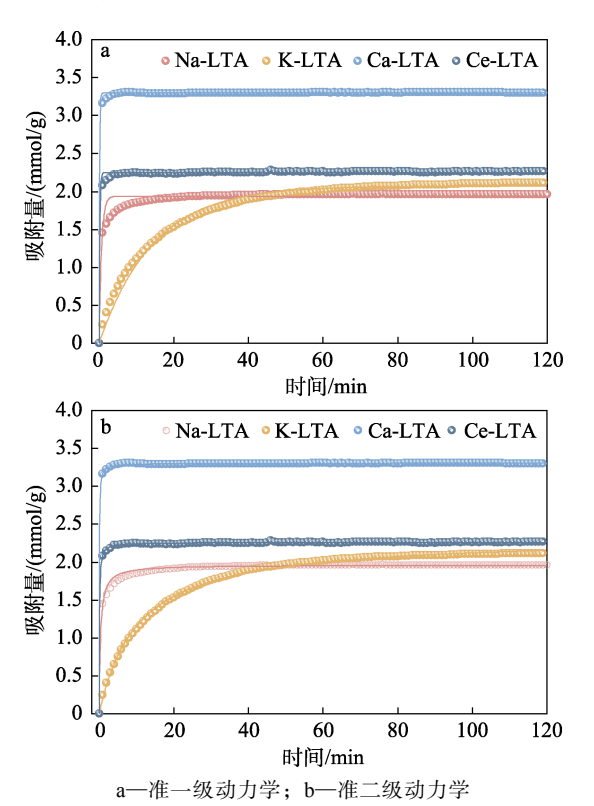


图 8 Na-LTA 和 M-LTA 的 CO_2 动态吸附曲线及其动力学 拟合结果

Fig. 8 Dynamic CO₂ adsorption curves of Na-LTA and M-LTA and their kinetic fitting results

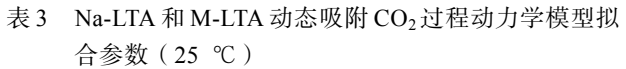


Table 3 Parameters obtained from fitting the kinetic model for the dynamic adsorption of CO₂ by Na-LTA and M-LTA (25 °C)

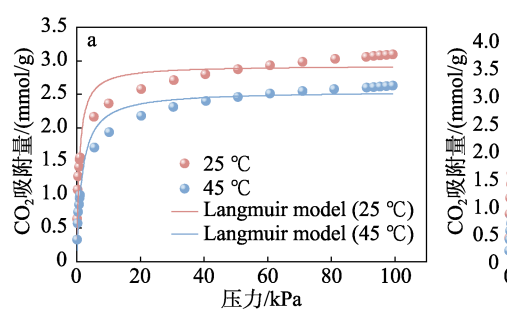
吸附剂	准一组	及动力学	ź	准二级动力学			
•	$q_{\rm e}/$ (mmol/g)	k_1/\min^{-1}	R^2	$q_{\rm e}/$ (mmol/g)	$k_2/[\text{mmol/} (g \cdot \text{min})]$	R^2	
Na-LTA	1.939	1.540	0.674	1.964	1.416	0.916	
K-LTA	2.073	0.069	0.986	2.340	0.042	0.997	
Ca-LTA	3.297	7.674	0.986	3.304	7.015	0.998	
Ce-LTA	2.253	5.206	0.956	2.261	5.343	0.992	

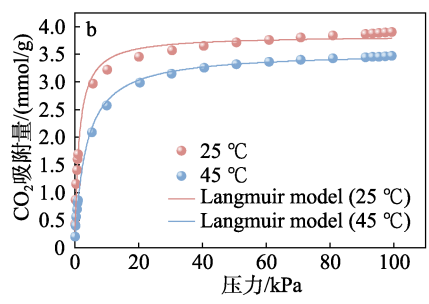
从图 8 和表 3 可以看出,Na-LTA、K-LTA、Ca-LTA 和 Ce-LTA 对 CO₂ 的吸附过程均更符合准二级动力学模型,Na-LTA 的准二级动力学模型 R^2 > 0.91;K-LTA、Ca-LTA 和 Ce-LTA 的准二级动力学模型 R^2 > 0.99,准一级动力学模型 R^2 > 0.95,表明 K-LTA、Ca-LTA 和 Ce-LTA 对 CO₂ 吸附过程是化学吸附和物理吸附协同作用的结果。此外,4 种吸附剂准二级动力学模型吸附速率常数 $[k_2, \text{ mmol/}(g \cdot \text{min})]$ 高低排序为:Ca-LTA(7.015 $\text{mmol/}(g \cdot \text{min})$)>Ce-LTA(5.343 $\text{mmol/}(g \cdot \text{min})$)>Na-LTA(1.416 $\text{mmol/}(g \cdot \text{min})$)> K-LTA(0.042 $\text{mmol/}(g \cdot \text{min})$),表明 Ca-LTA 具有更快的吸附速率和扩散速率;而 K-LTA 吸附速率和扩散速率非常小,低于 Na-LTA,这与 K-LTA 的有效孔体积较低有关。

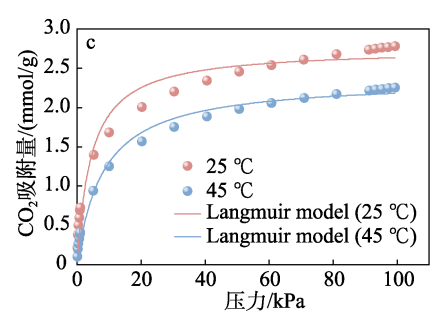
2.4 CO₂吸附热力学

图 9 为 Na-LTA 和 M-LTA 的 CO_2 吸附等温吸附数据和等温线模型拟合曲线,表 4 为等温线模型拟合参数。

从图 9 可以看出,Na-LTA、Ca-LTA 和 Ce-LTA 在测试压力范围内对 CO_2 均表现出较高的吸附量,且吸附量随着压力的增加不断增大;随着吸附温度(25、45 °C)的升高, CO_2 吸附量减小,表明吸附均为放热过程^[30]。从表 4 可以看出,与 Langmuir和 Freundlich 模型相比,Langmuir-Freundlich 模型的拟合等温线与不同覆盖水平下的实验数据具有较好的一致性。







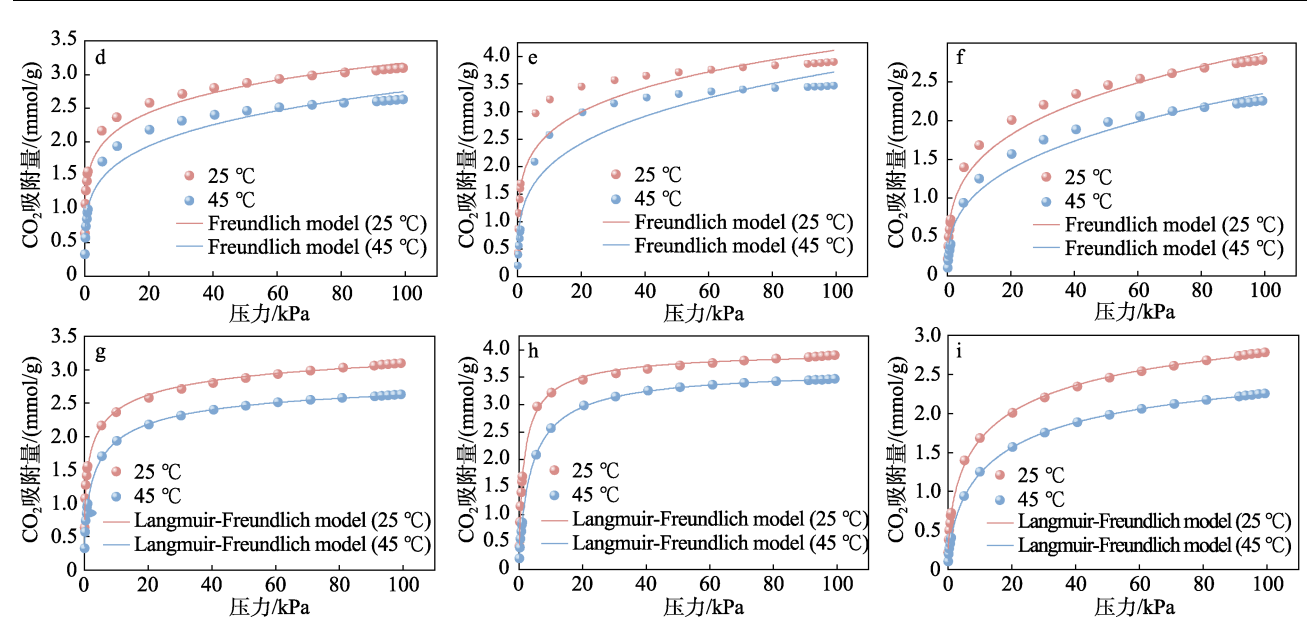


图 9 Na-LTA (a、d、g)、Ca-LTA (b、e、h)和 Ce-LTA (c、f、i)在 25、45 ℃的 CO₂ 吸附等温吸附数据和等温线模型拟合曲线

Fig. 9 Isothermal adsorption data and isotherm model fitting curves for CO₂ adsorption of Na-LTA and M-LTA samples

表 4 Na-LTA、Ca-LTA 和 Ce-LTA 的 CO₂ 吸附过程等温线模型拟合参数
Table 4 Parameters obtained from isotherm model fitting of CO₂ adsorption processes in Na-LTA and M-LTA (Ca-LTA, Ce-LTA)

吸附剂	VP 22	Langmuir			Freundlich			Langmuir-Freundlich			
	温度/℃ -	q _m / (mmol/g)	$K_{\rm L}/{\rm Pa}^{-1}$	R^2	$\frac{K_{\mathrm{F}}/}{[(\mathrm{mmol/g})(\mathrm{Pa})^{-1/n}]}$	n	R^2	q _m /(mmol/g)	$K_{\text{L-F}}/\text{Pa}^{-1}$	n	R^2
Na-LTA	25	2.931	1.259	0.940	1.479	6.036	0.973	3.696	0.678	0.427	0.997
	45	2.551	0.601	0.973	1.007	4.585	0.963	3.006	0.473	0.576	0.999
Ca-LTA	25	3.837	0.762	0.993	1.654	5.050	0.922	4.017	0.684	0.768	0.999
	45	3.545	0.295	0.998	1.085	3.732	0931	3.671	0.308	0.868	0.999
Ce-LTA	25	2.753	0.225	0.969	0.773	3.505	0.983	3.764	0.226	0.543	0.999
	45	2.361	0.123	0.988	0.508	3.007	0.979	2.933	0.159	0.656	0.999

模型的 $R^2>0.99$,表明 Langmuir- Freundlich 模型可用于评价相应的吸附行为。25 °C时,Na-LTA 最大 CO_2 吸附量为 3.696 mmol/g,Ca-LTA 为 4.017 mmol/g,Ce-LTA 为 3.764 mmol/g,这一趋势与动态吸附实验结果一致。Langmuir- Freundlich 模型中的 n 表征了吸附剂表面气体分子的非均匀性,Na-LTA、Ca-LTA 和 Ce-LTA 对 CO_2 的 n<1,说明其吸附体系更接近非均相,低温更利于吸附。由于 K-LTA 比表面积(9.5 m²/g)特别小,导致吸附速率特别慢(动力学模型拟合结果吻合),因此,在相对较低的压力下,其 CO_2 吸附量无研究意义。上述结果的原因在于,Na-LTA、K-LTA、Ca-LTA 和 Ce-LTA 在阳离子的电荷和分布位置以及结构框架方面具有差异。

表 5 为 M-LTA 与已发表文献中吸附剂的 CO_2 吸附性能对比结果。

表 5 文献报道的同类型沸石分子筛吸附性能
Table 5 Adsorption performance of analogous zeolites as reported in the literature

mz 1741 3m	吸附	条件	吸附量/	参考文献	
吸附剂	压力/MPa	温度/K	(mmol/g)		
LTA+FAU	0.1	298	3.39	[21]	
Na-A	0.015	313	1.40	[31]	
Mg-A	0.015	313	1.80	[31]	
Ca-A	0.015	313	3.81	[31]	
Ca-LTA-3	0.00004	298	1.12	[33]	
Micro-LTA	0.1	298	1.94	[34]	
Meso-LTA	0.1	298	3.63	[34]	
5A	0.1	298	3.68	[32]	
5A@ZIF-8	0.1	298	0.31	[32]	
K-LTA	0.1	298	2.11	本文	
Ca-LTA	0.1	298	4.02	本文	
Ce-LTA	0.1	298	3.76	本文	

从表 5 可以看出, K-LTA、Ca-LTA 和 Ce-LTA 对 CO₂ 的吸附性能,与文献报道的 Ca-LTA^[31-33]、LTA^[21,31,34]、Mg-LTA^[31]、5A@ZIF-8^[32]等沸石相当。

图 10 为 Na-LTA、Ca-LTA 和 Ce-LTA 的 CO₂ 吸附过程的等量吸附热。

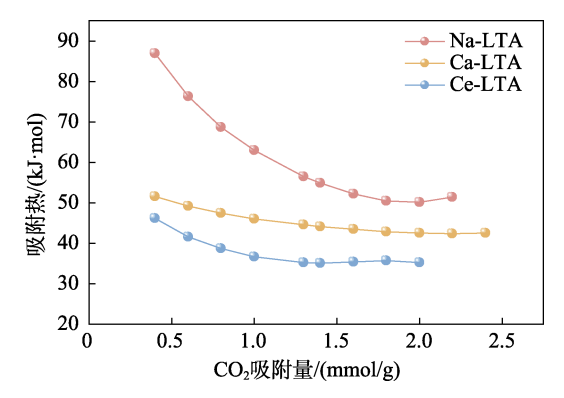


图 10 Na-LTA、Ca-LTA 和 Ce-LTA 的 CO₂ 吸附过程的等量吸附热

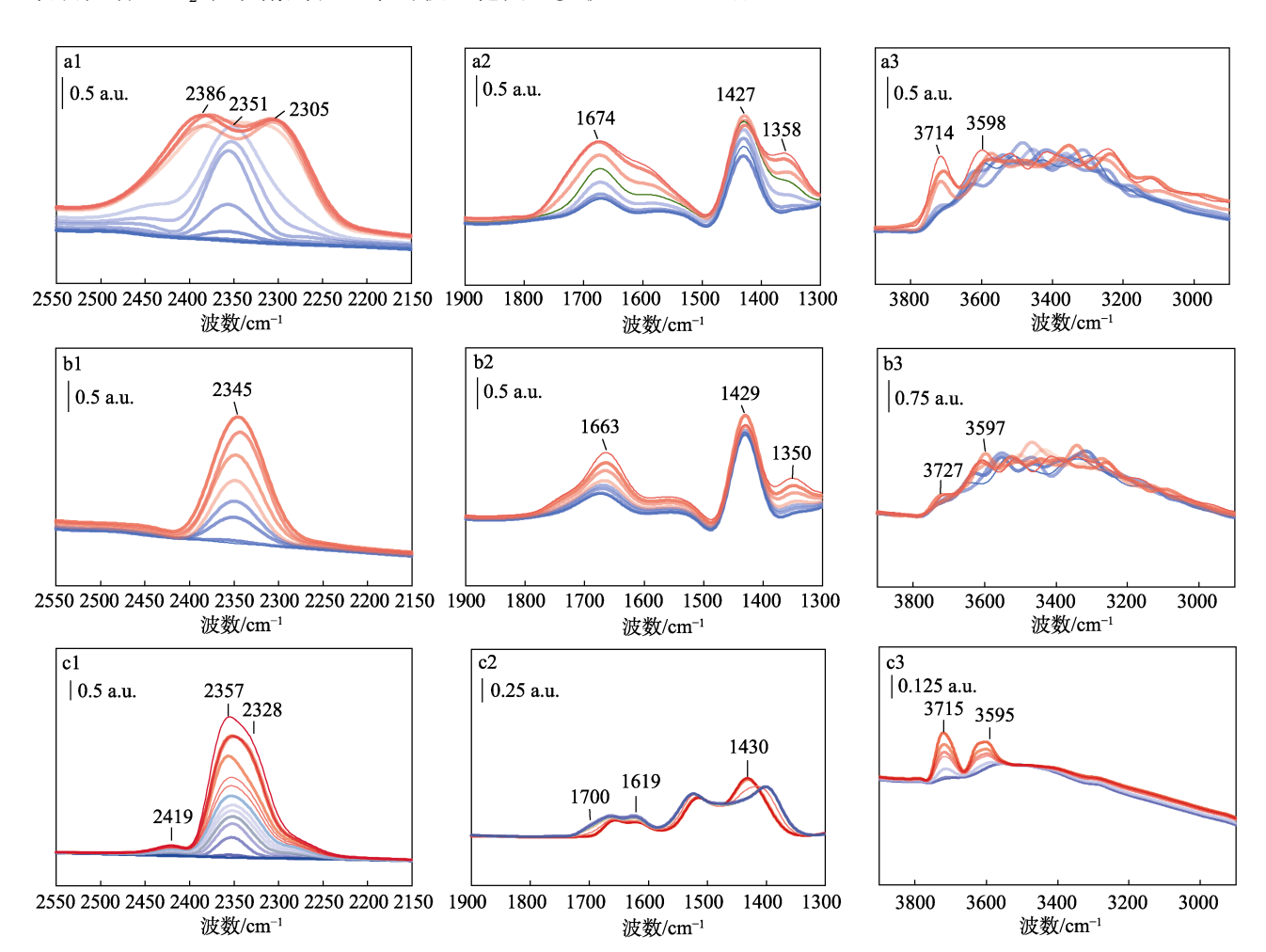
Fig. 10 Equivalent heat of adsorption for CO₂ adsorption process of Na-LTA, Ca-LTA and Ce-LTA

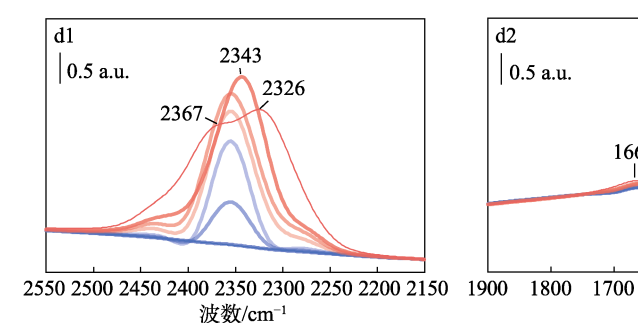
从图 10 可以看出,随着 Na-LTA、Ca-LTA 和 Ce-LTACO₂ 吸附量的增加,吸附热值均呈下降趋势,表明随着 CO₂ 在吸附剂孔道中的覆盖范围逐步扩

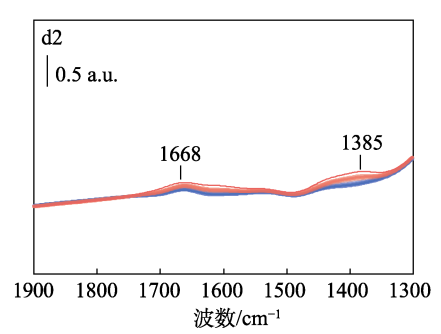
大,其分子间的相互作用力相较于与孔道之间作用 力而言显得微弱。在吸附初始, CO2分子更容易"选 择"那些具有高吸附势能的强吸附区域;然而,随 着吸附进程的深入,这些强吸附区域被大量占领, 此时 CO₂分子只能在低势能区域被吸附。Na-LTA、 Ca-LTA 和 Ce-LTA 在吸附初期并未呈现明显的吸附 热, 当 CO₂ 吸附量逐渐增加至 0.4 mmol/g 时, 3 种 样品存在较高的 CO₂ 吸附热, 分别约为 86.85、51.55 和 46.19 kJ/mol,表明 CO₂分子与材料之间存在强相 互作用,这可能是因为,骨架外碱性位点与 CO₂通 过静电(偶极-四极)相互作用,以及介孔和大孔的 多级相互作用极大地提高了吸附剂的 CO₂ 吸附性 能。当 CO2 吸附量持续增加时,吸附剂的 CO2 吸附 热逐渐趋于稳定。结果表明,吸附剂与 CO2 分子 之间具有较好的相互作用,不仅有利于 CO2分子的 吸附,而且可以使吸附的 CO₂分子在相对较低的温 度下脱附,具有相对较低的再生能耗。此外,吸附 热呈现先减小后保持基本不变的趋势, 表明吸附剂 的表面具有非均质性。

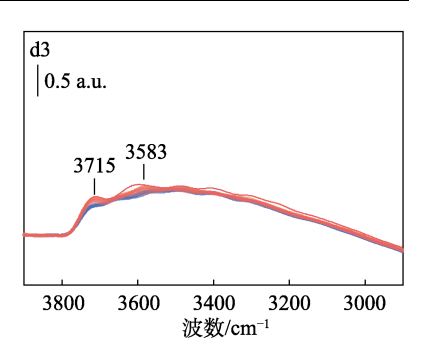
2.5 CO₂ 吸附机理分析

图 11 为 Na-LTA 和 M-LTA 的 CO_2 吸附原位 FTIR 谱图。









a1~a3—Na-LTA; b1~b3—K-LTA; c1~c3—Ca-LTA; d1~d3—Ce-LTA 图 11 Na-LTA 和 M-LTA 的 CO₂ 吸附原位 FTIR 谱图 Fig. 11 In situ FTIR spectra of CO₂ adsorption of Na-LTA and M-LTA

从图 11a1~a3 可以看出, Na-LTA 对 CO₂ 的吸附 主要以物理吸附为主。低 CO2 覆盖下, 最强烈的波 段 2351 cm⁻¹ 处的不对称拉伸振动模式,属于物理吸 附 CO₂, 该吸收带与 CO₂线性吸附在 Na-LTA 超笼 中占据 S II 位置的 Na(I)位的反对称伸缩振动(v_3) 有关。当 CO₂ 覆盖度增加, CO₂ 开始在吸附量较低 的位置(即除"阳离子位置"以外的位置)吸附, 2351 cm⁻¹ 处的能带演变成 2386 和 2305 cm⁻¹ 处两个 新的能带。这一现象归因于双相(Na+···CO2)2加合物 的形成[35]。3598 和 3714 cm-1 波段为组合波段 $(2v_2+v_3; v_1+v_3, 其中, v_1 和 v_2 分别代表对称伸缩$ 振动和双重简并弯曲振动)。在高 CO2覆盖下,低 频区域还观察到 1674 cm⁻¹ 的 1 个宽带,与 v_1 有关, 显示了线性吸附 CO₂ 的对称性的断裂^[36], 这种振 动模式对气态 CO₂ 是禁止的, 但在吸附过程中, 线 性 CO₂ 分子对称性的破坏使其具有红外活性; 在 1427 cm⁻¹ 处出现一个肩带(1358 cm⁻¹), 且强度随 着覆盖范围的增加而增强,表明形成了大量的碳酸 盐样物种。

从图 11b1~b3 可以看出,K-LTA 对 CO_2 的吸附也主要以物理吸附为主,相比 Na-LTA,K-LTA 的 2351 cm^{-1} 处发生了变化,这可能与 CO_2 和框架之间的相互作用有关,导致这种不对称拉伸(v_3)频带频率的变化:沸石骨架的色散力使频率降低,阳离子电场诱导 CO_2 的极化使频率升高 $[^{37]}$ 。当 K-LTA 上的 CO_2 覆盖率很低时, CO_2 吸附发生在能量最有利的 "阳离子位置"上。3727 和 3597 cm^{-1} 组合波段(v_3+v_1)和(v_3+2v_2)是定量评价 K-LTA 沸石物理吸附性能的合适选择 $[^{38]}$ 。

从图 $11c1\sim c3$ 可以看出,相比 Na-LTA,Ca-LTA 的 2328×2357 和 2419 cm⁻¹ 处出现波峰,归因于 CO_2 在 Ca^{2+} 上的分布。 CO_2 吸附在 Ca-LTA 上的光谱显示出 1 个以 2357 cm⁻¹ 为中心的主强带,在持续吸附时,这个波段演变为两个波段。2419 cm⁻¹ 处可能是由于 CO_2 与 Ca^{2+} 相互作用,而主要成分可能部分是由于 Na^+ 羰基,其拉伸频率仅略高于 Na-LTA;此外,在

1430 cm⁻¹ 处也有明显的宽带,这可能是与[Ca(OH)]⁺ 基团的存在一致,即存在强碱性框架外氧,其中,一部分可能与环境中的 CO_2 发生了反应;同时,在 1700 cm⁻¹ 处出现了一个新的波带,包含 1619、1430 cm⁻¹ 的波带,归因于在 Ca-LTA 超笼上形成了 Ca^{2+} …(CO_2)₃ 碳酸盐结构。吸附 CO_2 后在 1435 cm⁻¹ (图 4b) 处桥接 Si—OH—Al 基团的波带减弱,而在 3595 cm⁻¹ 处与非酸性[Ca(OH)]⁺基团相关的波带强度保持不变^[39]。

从图 11d1~d3 可以看出,Ce-LTA 的原位 FTIR 谱图红移,表明 Ce³+与物理吸附 CO₂分子之间的相互作用更强,这种相互作用来源于电荷尺寸较大的 Ce³+所施加的强静电力。除静电作用外, π 络合作用也有助于 Ce³+对 CO₂的吸附[⁴0-41]。CO₂分子可被过渡金属阳离子通过 π -背成键吸附;此外,在 2326 和 2367 cm⁻¹ 处出现两个峰,这分别代表 CO₂在 Ce³+结合较强的位点和 Na⁺结合较弱的位点被物理吸附。在低频区域 1385 和 1668 cm⁻¹ 处出现两个峰,证明了羰基的形成,分别代表 CO₂ 化学吸附过程中形成了双齿碳酸盐和桥状双齿碳酸盐[⁴2-4³]。

综上所述, CO₂ 吸附量不同是由于阳离子在电 场中引起的变化不同。低温 CO2在 Na-LTA 上的吸 附主要以 C 键羰基钠的形式进行; 此外, 少量的 CO2 分子与1个以上的阳离子结合,可能同时与C和O 原子结合。K-LTA对CO2的吸附极弱,这是因为, 仅极少量的 CO₂分子可以进入孔道,大部分以 C 键 羰基钾的形式出现在外表面。由于 CO2 分子的极化 和净偶极子, CO₂ 分子可与吸附剂孔内的阳离子相 互作用,也可通过静电相互作用(包括极化相互作 用和四极矩-表面电场相互作用)和范德华力相互作 用结合 CO₂。在 Na-LTA 型沸石结构中, 电荷尺寸 比越大的阳离子可以产生更大的极化功率(极化相 互作用)和更强的表面电场(四极矩-表面电场相互 作用); Ca²⁺和 Ce³⁺的电荷尺寸比(20.0 和 29.7 nm) 远大于 Na(I)(9.8 nm), 从而具有更高的相互作用 能和更强的吸附低压 CO₂能力^[44]。

3 结论

以工业固废钛渣衍生制备的 Na-LTA 沸石为母体,采用 LPIE 调变阳离子活性位,制备了 3 种离子交换型 M-LTA 沸石分子筛吸附剂 K-LTA、Ca-LTA和 Ce-LTA。通过动态吸附法和质量吸附法评价样品的 CO_2 吸附性能,同时采用 XRD、FTIR、SEM、BET Z CO_2 -TPD 等表征结构性质及其吸附 CO_2 机理,结论如下:

- (1) K⁺、Ca²⁺、Ce³⁺的引入不会改变 Na-LTA 的结构,制备的 M-LTA 的 CO₂饱和吸附量均有所提高,尤其是 Ca-LTA 提升最大,穿透吸附量与饱和吸附量可达 2.31 和 3.29 mmol/g,且在 CO₂/N₂、CO₂/CH₄ 双组分气体中表现出良好的选择分离率。
- (2) Na-LTA 和 M-LTA 对 CO₂的吸附行为均符合准二级动力学和 Langmuir-Freundlich 模型,吸附为放热过程,Langmuir-Freundlich 等温线模型拟合结果显示,Ca-LTA 最大理论吸附量为 4.017 mmol/g。
- (3) Na-LTA 和 M-LTA 对 CO₂ 吸附过程以物理和化学协同吸附为主; M-LTA 对 CO₂ 分子表现出更强的相互作用,这种相互作用源于电荷尺寸比大的阳离子所施加的强静电力; 吸附过程中的化学吸附主要以C 键羰基的形式进行。协同吸附机制实现了阳离子交换型沸石分子筛对 CO₂ 的高效及快速捕集。

参考文献:

- [1] CARBON ACCOUNTING DATABASE FOR CHINA (CCAD) (中国碳核算数据库)[J/OL]. 2024. https://www.ceads.net.cn/.
- [2] ERANS M, ARENCIBIA A, SANZ-PÉREZ E S, et al. Aminebridged periodic mesoporous organosilica adsorbents for CO₂ capture[J]. Journal of Environmental Chemical Engineering, 2023, 11(6): 111590.
- [3] PARDAKHTI M, JAFARI T, TOBIN Z, et al. Trends in solid adsorbent materials development for CO₂ capture[J]. ACS Applied Materials & Interfaces, 2019, 11(38): 34533-34559.
- [4] LEE S Y, PARK S J. Determination of the optimal pore size for improved CO₂ adsorption in activated carbon fibers[J]. Journal of Colloid and Interface Science, 2013, 389(1): 230-235.
- [5] ASGARI M, JAWAHERY S, BLOCH E D, et al. An experimental and computational study of CO₂ adsorption in the sodalite-type M-BTT (M=Cr, Mn, Fe, Cu) metal-organic frameworks featuring open metal sites[J]. Chemical Science, 2018, 9(20): 4579-4588.
- [6] ETHIRAJ J, BONINO F, VITILLO J G, et al. Solvent-driven gate opening in MOF-76-Ce: Effect on CO₂ adsorption[J]. ChemSusChem, 2016, 9(7): 713-719.
- [7] LI X J, NIU X X, FU P, et al. Macrocycle-on-COF photocatalyst constructed by in-situ linker exchange for efficient photocatalytic CO₂ cycloaddition[J]. Applied Catalysis B: Environment and Energy, 2024, 350: 123943.
- [8] MENDOZA-MERLANOE C, TAPIA-PÉREZ J, SERNA-GALVIS E, et al. Improved conversion, selectivity, and stability during CO₂ methanation by the incorporation of Ce in Ni, Co, and Fehydrotalcite-derived catalysts[J]. International Journal of Hydrogen Energy, 2024, 60: 985-995.
- [9] PAPA E, MIELLI M, MARCHIONI M C, et al. Metakaolin-based geopolymer-zeolite NaA composites as CO₂ adsorbents[J]. Applied Clay Science, 2023, 237: 106900.
- [10] HENROTIN A, HEYMANS N, DUPREZ M E, et al. Lab-scale pilot for CO₂ capture vacuum pressure swing adsorption: MIL-160 (Al) vs zeolite 13X[J]. Carbon Capture Science & Technology, 2024, 12:

- 100224
- [11] SOUZA-FILHO J D V, OLIVEIRA E S, GUEDES J B, et al. Zeolite A grown on fiberglass: A prominent CO₂ adsorbent for CO₂/CH₄ separation[J]. Colloids and Surfaces A: Physicochemical and Engineering Aspects, 2024, 683: 132952.
- [12] HOSSAIN M I, RABIDEAU B D, GLOVERI T G. The impact of trace amounts of CO₂ on the high-pressure adsorption of CH₄ on 5A zeolite[J]. Microporous and Mesoporous Materials, 2024, 369: 112948.
- [13] ZHAO Z H, ZHANG Y F, OTHMAN R M, et al. CO₂ adsorption by coal fly ash zeolite and modified zeolite-templated carbon[J]. Process Safety and Environmental Protection, 2024, 186: 151-165.
- [14] YANG K Z, YANG G, WU J Y. Insights into the enhancement of CO₂ adsorption on faujasite with a low Si/Al ratio: Understanding the formation sequence of adsorption complexes[J]. Chemical Engineering Journal, 2021, 404: 127056.
- [15] BOER D G, LANGERAK J, PESCARMONA P P. Zeolites as selective adsorbents for CO₂ separation[J]. ACS Applied Energy Materials, 2023, 6(5): 2634-2656.
- [16] KRISHNA R. Diffusion in porous crystalline materials[J]. Chemical Society Reviews, 2012, 41(8): 3099-3118.
- [17] WANG B H, ZHU Y, QIN Q Y, et al. Development on hydrophobic modification of aluminosilicate and titanosilicate zeolite molecular sieves[J]. Applied Catalysis A: General, 2021, 611: 117952.
- [18] ZHANG C, ZHANG D Y, ZHANG X Q, et al. Rubik's cube-shaped Linde type A zeolite synthesized from biomass for carbon dioxide capture[J]. Cell Reports Physical Science, 2024, 5(4): 101889.
- [19] SUN X Y, ZHANG Q Q, LI S H, et al. Maximizing the utilization of calcium species in the supercages of CaNa-FAU zeolite for efficient CO₂ capture[J]. Chemical Engineering Journal, 2024, 481: 148661.
- [20] ZHANG Y J (张镱键). Study on synthesis of zeolite from fly ash and CO₂ performance[D]. Xi'an: Xi'an University of Technology (西安理 工大学), 2021.
- [21] HUANGFU L (皇甫林), SHANG B (尚波), LUO Z Q (罗中秋), et al. Preparation of porous zeolite using titanium-bearing slag and its CO₂ adsorption performance[J]. Fine Chemicals (精细化工), 2024, 41(8): 1726-1736, 1856.
- [22] ZHU H, LI S M, ZHANG J F, et al. A highly effective and low-cost sepiolite-based solid amine adsorbent for CO₂ capture in postcombustion[J]. Separation and Purification Technology, 2023, 306: 122627.
- [23] CHOI H J, HONG S B. Effect of framework Si/Al ratio on the mechanism of CO₂ adsorption on the small-pore zeolite gismondine[J]. Chemical Engineering Journal, 2022, 433: 133800.
- [24] MONTENEGRO-COOPER J M, CELEMIN-MATACHANA M, CANIZAL J, et al. Study of the expansive behavior of ladle furnace slag and its mixture with low quality natural soils[J]. Construction and Building Materials, 2019, 203: 201-209.
- [25] LEE S, LEE J H, KIM J. User-friendly graphical user interface software for ideal adsorbed solution theory calculations[J]. Korean Journal of Chemical Engineering, 2018, 35: 214-221.
- [26] WANG M Q, XU D F, MA H, et al. Synthesis of NaA zeolite from foundry dust and its adsorption capacity of ammonia[J]. Journal of Environmental Management, 2023, 331: 117297.
- [27] PREMYSLAW R, DARIUSZ W, STEF S, et al. CO₂-induced displacement of Na⁺ and K⁺ in zeolite |NaK|-A[J]. The Journal of Physical Chemistry, 2018, 122(30): 17211-17220.
- [28] CHEN Z H, DENG S B, WEI H R, et al. Activated carbons and amine-modified materials for carbon dioxide capture-A review[J]. Frontiers of Environmental Science & Engineering, 2013, 7: 326-340.
- [29] LIU H B, YUAN D H, LIU G Y, et al. Oxygen-selective adsorption on high-silica LTA zeolite[J]. Chemical Communications, 2020, 56(75): 11130-11133.
- [30] KAREEM F A A, SHARIFF A M, ULLAH S, et al. Experimental measurements and modeling of supercritical CO₂ adsorption on 13X and 5A zeolites[J]. Journal of Natural Gas Science and Engineering, 2018, 50: 115-127.
- [31] BAE T H, HUDSON M R, MASON J A, et al. Evaluation of cationexchanged zeolite adsorbents for post-combustion carbon dioxide capture[J]. Energy & Environmental Science, 2013, 6(1): 128-138.
- [32] KUMAR S, SRIVASTAVA R, KOH J. Utilization of zeolites as CO₂ capturing agents: Advances and future perspectives[J]. Journal of CO₂ Utilization, 2020, 41: 101251.
- [33] TAO Z Y, TIAN Y M, OU S Y, et al. Direct air capture of CO₂ by metal cation-exchanged LTA zeolites: Effect of the charge-to-size

- ratio of cations[J]. AIChE Journal, 2023, 69(8): e18139.
- [34] CHEN C, AHN W S. CO₂ adsorption on LTA zeolites: Effect of mesoporosity[J]. Applied Surface Science, 2014, 311: 107-109.
- [35] XING P, WANG C Y, ZENG L, et al. Lithium extraction and hydroxysodalite zeolite synthesis by hydrothermal conversion of αspodumene[J]. ACS Sustainable Chemistry & Engineering, 2019, 7(10): 9498-9505.
- [36] GOULAY A, CLAIRETT F, DE LARA E C. Effect of electric field on internal vibration frequencies. Infrared analysis of CO₂ adsorbed in A zeolites[J]. Molecular Physics, 1991, 73(4): 845-853.
- [37] PIRNGRUBER G, RAYBAUD P, BELMABKHOUT Y, et al. The role of the extra-framework cations in the adsorption of CO₂ on faujasite Y[J]. Physical Chemistry Chemical Physics, 2010, 12(41): 13534-13546.
- [38] LIU Q L, MACE A, BACSIK Z, et al. NaKA sorbents with high CO₂-over-N₂ selectivity and high capacity to adsorb CO₂[J]. Chemical Communications, 2010, 46(25): 4502-4504.
- [39] BETA I A, HUNGER B, BÖHLMANN W, et al. Dissociative adsorption of water in CaNaA zeolites studied by TG, DRIFTS and 1H and 27Al MAS NMR spectroscopy[J]. Microporous and

- Mesoporous Materials, 2005, 79(1/2/3): 69-78.
- [40] SUN M Z, GU Q F, HANIF A, et al. Transition metal cation-exchanged SSZ-13 zeolites for CO_2 capture and separation from $N_2[J]$. Chemical Engineering Journal, 2019, 370: 1450-1458.
- [41] SHANG S S, YANG C, WANG C G, et al. Transition-metal-containing porphyrin metal-organic frameworks as π-backbonding adsorbents for NO₂ removal[J]. Angewandte Chemie International Edition, 2020, 59(44): 19680-19683.
- [42] STEVENS JR R W, SIRIWARDANE R V, LOGAN J. In situ Fourier transform infrared (FTIR) investigation of CO₂ adsorption onto zeolite materials[J]. Energy & Fuels, 2008, 22(5): 3070-3079.
- [43] REGE S U, YANG R T. A novel FTIR method for studying mixed gas adsorption at low concentrations: H₂O and CO₂ on NaX zeolite and γ-alumina[J]. Chemical Engineering Science, 2001, 56(12): 3781-3796
- [44] BARRER R M, STUART W. Ion exchange and the thermodynamics of intracrystalline sorption I. Energetics of occlusion of argon and nitrogen by faujasite-type crystals[J]. Proceedings of the Royal Society of London Series A Mathematical and Physical Sciences, 1959, 249(1259): 464-483.

(上接第 1579 页)

- [25] MOULDER J F, STICKLE W F, SOBOL P E, et al. Handbook of X-ray photoelectroscope[M]. Eden Prairie: Physical Electronics, 1995.
- [26] WANG J R, ZHU S H, WANG Y W, et al. Enhanced activity of Ru-Ir nanoparticles over SiC for hydrogenation of levulinic acid at roomtemperature[J]. Materials Research Bulletin, 2020, 135: 111128.
- [27] HAO C H, GUO X N, SANKAR, et al. Synergistic effect of segregated Pd and Au nanoparticles on semiconducting SiC for efficient photocatalytic hydrogenation of nitroarenes[J]. ACS Applied Materials & Interfaces, 2018, 10: 23029-23036.
- [28] TAN J J, CUI J L, DENG T S, et al. Water-promoted hydrogenation of levulinic acid to γ-valerolactone on supported ruthenium catalyst

- [J]. ChemCatChem, 2015, 7: 508-512.
- [29] MICHEL C, ZAFFRAN J, RUPPERT A M, et al. Role of water in metal catalyst performance for ketone hydrogenation: A joint experimental and theoretical study on levulinic acid conversion into gamma-valerolactone[J]. Chemical Communication, 2014, 50: 12450-12453.
- [30] WU X L, XIONG S J, WANG J, et al. Identification of surface structures on 3C-SiC nanocrystals with hydrogen and hydroxyl bonding by photoluminescence[J]. Nano Letters, 2009, 9(12): 4053-4060.
- [31] POLLMANN J, PENG X, WIEFERINK J, et al. Adsorption of hydrogen and hydrocarbon molecules on SiC(001)[J]. Surface Science Reports, 2014, 69: 55-104.

(上接第1592页)

- [17] ÁLVAREZ M G, PLÍŠKOVÁ M, SEGARRA A M, et al. Synthesis of glycerol carbonates by transesterification of glycerol in a continuous system using supported hydrotalcites as catalysts[J]. Applied Catalysis B: Environmental, 2012, 113: 212-220.
- [18] BULBULE V J, BORATE H B, MUNOT Y S, *et al.*Transesterification of α-haloesters and β-ketoesters over Mg-Alhydrotalcites (HT)-like anionic clays[J]. Journal of Molecular Catalysis A: Chemical, 2007, 276(1/2): 158-161.
- [19] SIMANJUNTAK F S H, KIM T K, LEE S D, et al. CaOcatalyzed synthesis of glycerol carbonate from glycerol and dimethyl carbonate: Isolation and characterization of an active Ca species[J]. Applied Catalysis A: General, 2011, 401(1/2): 220-225.
- [20] LIU X J, HE H Y, WANG Y J, et al. Transesterification of soybean oil to biodiesel using CaO as a solid base catalyst[J]. Fuel, 2008, 87(2): 216-221.
- [21] HATTORI H, SHIMA M, KABASHIMA H. Alcoholysis of ester and epoxide catalyzed by solid bases[J]. Studies in Surface Science and Catalysis, 2000, 130: 3507-3512.
- [22] KRESSE G, FURTHMULLER J. Efficient iterative schemes for ab initio total-energy calculations using a plane-wave basis set[J]. Physical Review B, 1996, 54(16): 11169-11186.
- [23] KRESSE G, FURTHMIILLER J. Efficiency of AB-initio total energy calculations for metals and semiconductors using a planewave basis set[J]. Computational Materials Science, 1996, 6(1): 15-50.
- [24] PERDEW J P, BURKE K, ERNZERHOF M. Generalized gradient approximation made simple[J]. Physical Review Letters, 1996, 77(18): 3865-3868.

- [25] CHOOI C Y, SIM J H, TEE S.F, et al. Waste-derived green nanocatalyst for biodiesel production: Kinetic-mechanism deduction and optimization studies[J]. Sustainability, 2021, 13(11): 5849.
- [26] YANG Y, DANG L N, SHEARER M J, et al. Highly active trimetallic NiFeCr Layered double hydroxide electrocatalysts for oxygen evolution reaction[J]. Advanced Energy Materials, 2018, 8(15): 1703189.
- [27] KNUTSSONA P, CANTATOREA V, SEEMANNB M, et al. Role of potassium in the enhancement of the catalytic activity of calcium oxide towards tar reduction[J]. Applied Catalysis B: Environmental, 2018, 229: 88-95.
- [28] LIU J, CHEN F, YANG W B, et al. Excess soluble alkalis to prepare highly efficient MgO with relative low surface oxygen content applied in DMC synthesis[J]. Scientific Reports, 2021, 11(1): 20931.
- [29] LIU X J, PIAO X L, WANG Y J, et al. Calcium methoxide as a solid base catalyst for the transesterification of soybean oil to biodiesel with methanol[J]. Fuel. 2008, 87(7): 1076-1082.
- [30] MASOOD H, YUNUS R, CHOONG T S Y, et al. Synthesis and characterization of calcium methoxide as heterogeneous catalyst for trimethylolpropane esters conversion reaction[J]. Applied Catalysis A: General, 2012, 425: 184-190.
- [31] DESHMANE V G, ADEWUYI Y G. Synthesis and kinetics of biodiesel formation via calcium methoxide base catalyzed transesterification reaction in the absence and presence of ultrasound[J]. Fuel, 2013, 107: 474-482.
- [32] TEO S H, ISLAM A, TAUFIQ-YAP Y H. Algae derived biodiesel using nanocatalytic transesterification process[J]. Chemical Engineering Research and Design, 2016, 111: 362-370.
- [33] GRYGLEWICZ S. Rapeseed oil methyl esters preparation using heterogeneous catalysts[J]. Bioresource Technol, 1999, 70(3): 249-253.